

ИОНИЗАЦИОННОЕ ВОЗБУЖДЕНИЕ ГЕЛИЕПОДОБНЫХ ИОНОВ ПРИ КОМПТОНОВСКОМ РАССЕЯНИИ

*А. И. Михайлов, А. В. Нефёдов**

*Петербургский институт ядерной физики им. Б. П. Константинова,
Национальный исследовательский центр «Курчатовский институт»
188300, Гатчина, Ленинградская обл., Россия*

Поступила в редакцию 8 апреля 2018 г.

Рассмотрена ионизация гелиеподобных ионов с одновременным возбуждением ns -состояний в результате рассеяния фотонов. Дифференциальные и полные сечения процесса вычислены в лидирующем порядке теории возмущений по межэлектронному взаимодействию. Полученные формулы применимы в нерелятивистской области энергий вдали от порога ионизации.

DOI: 10.1134/S0044451018100048

1. ВВЕДЕНИЕ

Рассеяние фотонов на атоме, сопровождаемое переходом связанного электрона в сплошной спектр, принято называть комптоновским рассеянием. Простейшую мишень представляет собой одноэлектронный атом, характеризующийся потенциалом ионизации $I = m(\alpha Z)^2/2$ и средним импульсом связанного электрона $\eta = m\alpha Z$, где α — постоянная тонкой структуры, m — масса электрона ($\hbar = 1$, $c = 1$). Атомное ядро с зарядовым числом Z считается источником внешнего поля (картина Фарри). В нерелятивистском пределе кулоновский параметр $\alpha Z \ll \ll 1$. Сечение комптоновского рассеяния фотонов с энергией ω_1 в области $I \ll \omega_1 \ll m$ было получено Шнайндом [1] и может быть записано в виде

$$\sigma_{1s}^+ = \frac{8\sigma_T}{\nu_1^2} \int_0^{\varepsilon_1-1} \frac{d\varepsilon}{1 - e^{-2\pi\xi}} \int_{x_{min}}^{x_{max}} dx (1 + \tau^2(x)) F(x), \quad (1)$$

где

$$F(x) = \frac{x(3x + \Delta)e^{-\gamma(x)}}{[(x - \Delta)^2 + 4x]^3},$$

$$\tau(x) = \frac{1}{2} \left(\frac{\nu_2'}{\nu_1} + \frac{\nu_1}{\nu_2'} - \frac{x}{\nu_1\nu_2'} \right),$$

$$\gamma(x) = 2\xi \operatorname{arctg} \left(\frac{x + 1 - \varepsilon}{2\sqrt{\varepsilon}} \right).$$

Здесь $\sigma_T = 8\pi r_e^2/3 = 6.65 \cdot 10^{-25} \text{ см}^2$ — томсоновское сечение рассеяния на свободном электроном, $r_e = \alpha/m$ — классический радиус электрона, $\omega_2' = \omega_1 - E - I$ — энергия рассеянного фотона, $\varepsilon_1 = \omega_1/I$ и $\varepsilon = E/I$ — энергии соответственно налетающего фотона и ионизованного электрона, калиброванные в единицах I , $\Delta = (\omega_1 - \omega_2')/I = \varepsilon + 1$ — безразмерная потеря энергии неупруго рассеянного фотона, $x_{min} = (\nu_1 - \nu_2')^2$, $x_{max} = (\nu_1 + \nu_2')^2$, $\nu_1 = \omega_1/\eta = \alpha Z \varepsilon_1/2$, $\xi = 1/\sqrt{\varepsilon}$, $\nu_2' = \omega_2'/\eta = \nu_1 - \alpha Z \Delta/2$. Область главного значения $\operatorname{arctg} z$ лежит в интервале от 0 до π .

В силу условия $\omega_1 \gg I$ рассеяние фотонов описывается в \mathbf{A}^2 -приближении [2–4], где \mathbf{A} — вектор-потенциал поля фотона. В этом приближении формула (1) получается из амплитуды, которая соответствует контактной (или sea-gull) диаграмме Фейнмана, причем электроны (как связанный, так и выбитый в сплошной спектр) описываются кулоновскими волновыми функциями. В околопороговой области энергий $\omega_1 \gtrsim I$ необходимо также учитывать вклад полюсных членов [5], однако в этом случае само комптоновское сечение достаточно мало по сравнению с сечением фотопоглощения. Сечения ионизации для фото- и комптон-эффекта становятся сравнимыми по величине при энергии фотонов $\omega_c \simeq (5/7)\eta Z^{2/5}$. В частности, для $Z = 2$ имеем $\omega_c \simeq \eta \simeq 7 \text{ кэВ}$. Если $\omega_1 \gg \eta$, ионизация происходит главным образом благодаря комптоновскому рассеянию.

Зависимости σ_{1s}^+ от энергии ω_1 падающих фотонов для разных одноэлектронных атомов пред-

* E-mail: anef@thd.pnpi.spb.ru

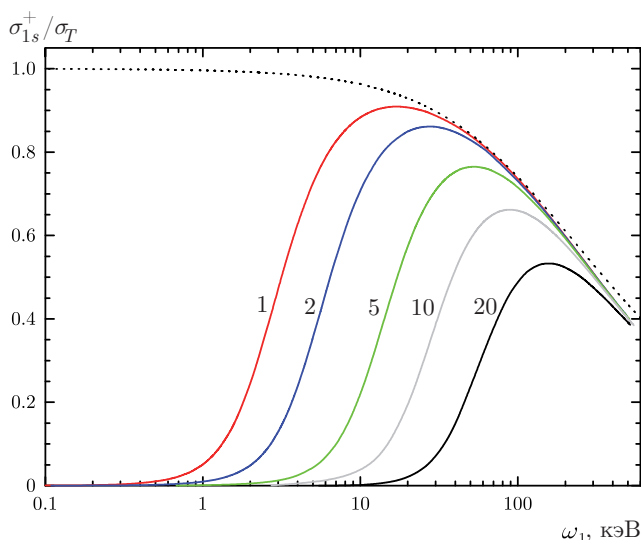


Рис. 1. Сечения комptonовского рассеяния на связанном *K*-электроне, вычисленные по формуле (1) (сплошные кривые). Числа указывают зарядовое число *Z*. Пунктирная кривая соответствует рассеянию на свободном электроне

ставлены на рис. 1. Там же для сравнения показано сечение комpton-эффекта на свободном электроне, вычисленное по формуле Клейна – Нишины – Тамма [6]. При $\omega_1 \ll \eta$ сечение комptonовского рассеяния на связанном электроне мало, поскольку процесс происходит в области, кинематически недоступной для рассеяния на свободном электроне. Потери энергии фотона в свободной кинематике, определяемые законами сохранения энергии и импульса, однозначно связаны с углом рассеяния ϑ посредством соотношения (в единицах *I*) [6]

$$\delta = 2(1 - \cos \vartheta)\omega_1^2/\eta^2. \tag{2}$$

Даже максимальные значения этих потерь $\delta_{max} \simeq 4\omega_1^2/\eta^2 \ll 1$, которые достигаются при рассеянии назад ($\vartheta \simeq \pi$), слишком малы по сравнению с потерями энергии $\Delta = \varepsilon + 1 \geq 1$ фотона при комptonовском рассеянии на атоме (см. формулу (1)). При учете взаимодействия электрона с ядром имеет место только закон сохранения энергии. Атомное ядро участвует в процессе, принимая на себя в силу огромной массы любой импульс отдачи.

При $\omega_1 \sim \eta$ ионизация связанного электрона происходит наиболее эффективно. В этом случае потери энергии фотона, рассеянного на атоме, близки к потерям энергии $\delta \sim 2(1 - \cos \vartheta)$ в свободной кинематике в широкой области углов рассеяния, кроме рассеяния на малые углы $\vartheta \sim 0$.

При $\eta \ll \omega_1 \ll m$ фотон преимущественно теряет энергию $\Delta \sim 2\omega_1^2/\eta^2 \gg 1$ [4]. Соответственно,

поскольку энергия ионизованного электрона $\varepsilon \simeq \Delta$, кулоновский параметр $\xi = 1/\sqrt{\varepsilon} \sim \eta/\sqrt{2}\omega_1 \ll 1$ и волновая функция электрона может быть аппроксимирована плоской волной (борновское приближение). Это дает для сечения вместо уравнения (1) величину $\sigma_{1s}^+ = \sigma_T(1 - 2\omega_1/m)$, не зависящую от *Z*.

Релятивистские выражения для дифференциальных сечений комptonовского рассеяния на *K*-электроне изучались в ряде работ (см., например, работы [7–10]). Формула (1) остается справедливой в релятивистской области энергий $\omega_1 \sim m$, если ионизованный электрон нерелятивистский [11]. Отметим также, что сечение для двухэлектронного атома (гелиеподобного иона) в лидирующем порядке теории возмущений по межэлектронному взаимодействию есть $\sigma^+ = 2\sigma_{1s}^+$, с учетом числа электронов в атоме.

При изучении проблемы рассеяния на атомных мишенях с несколькими электронами выделяют такие процессы, которые целиком обусловлены межэлектронным взаимодействием. Сечения оказываются крайне чувствительными к корректному описанию электрон-электронных корреляций. Теоретические предсказания, выполненные в рамках разных методов, иногда расходятся друг с другом даже по порядку величины.

В настоящей работе мы рассмотрим ионизацию двухэлектронной атомной мишени с одновременным возбуждением остаточного иона (ионизационное возбуждение) в *ns*-состояние ($n \geq 2$) при рассеянии фотонов с энергией в области $I \ll \omega_1 \ll m$. Налетающий фотон взаимодействует только с одним электроном, поэтому одновременный переход двух связанных электронов возможен лишь при учете межэлектронного взаимодействия. Это взаимодействие мы опишем в первом порядке нерелятивистской теории возмущений по параметру $1/Z \ll 1$, используя в качестве нулевого приближения кулоновские волновые функции и кулоновскую функцию Грина. Фейнмановские диаграммы для рассматриваемого процесса в \mathbf{A}^2 -приближении показаны на рис. 2, где график *a* учитывает межэлектронное взаимодействие в начальном состоянии атома, а график *b* – в конечном состоянии. К диаграммам рис. 2 надо добавить еще две обменные диаграммы, которые получаются из *a* и *b* перестановкой конечных состояний.

Процесс ионизационного возбуждения при комptonовском рассеянии исследовался ранее в работах [12–14] в асимптотической нерелятивистской области энергий $\eta \ll \omega_1 \ll m$. В этой области энергий задача допускает существенные упрощения. Глав-

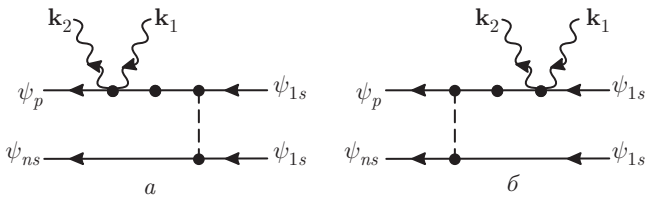


Рис. 2. Контактные фейнмановские диаграммы для ионизационного возбуждения атома при рассеянии фотона. Волнистые линии изображают налетающий и рассеянный фотоны с импульсами соответственно \mathbf{k}_1 и \mathbf{k}_2 . Штриховая линия изображает межэлектронное кулоновское взаимодействие. Электронный пропагатор с точкой соответствует кулоновской функции Грина

ный вклад в сечение процесса происходит только от диаграммы рис. 2а, причем для описания волновой функции вылетающего электрона можно использовать борновское приближение. Экспериментальный интерес представляет отношение сечения ионизационного возбуждения σ_{nl}^{+*} в nl -состояние к сечению простой ионизации:

$$R_{nl} = \frac{\sigma_{nl}^{+*}}{\sigma^+} = \frac{Q_{nl}}{Z^2}. \quad (3)$$

Здесь безразмерная функция Q_{nl} не зависит от ω_1 и Z , а $\sigma^+ = 2\sigma_T(1 - 2\omega_1/m)$. В частности, для состояний с $n = 2$ были вычислены $Q_{2s} = 0.0592$ и $Q_{2p} = 0.0043$ [13, 14]. Универсальный скейлинг (3) получается в рамках нерелятивистской теории возмущений в лидирующем порядке по параметру $1/Z$ только в области энергий $\eta \ll \omega_1 \ll m$. Как мы увидим в дальнейшем, при расширении области энергий до $I \ll \omega_1 \ll m$, которая включает в себя $\omega_1 \sim \eta$, универсальность нарушается и функции Q_{nl} становятся явно зависящими от Z и ω_1 , при этом $\sigma^+ = 2\sigma_{1s}^+$, где σ_{1s}^+ дается формулой Шнайда (1).

В литературе имеются только две работы [15, 16] одной группы авторов, где было вычислено сечение ионизационного возбуждения атома гелия в области энергий $\omega_1 \sim \eta$. Однако приближения, использованные в расчетах [15, 16], на наш взгляд, необоснованны. Во-первых, применялось так называемое «импульсное приближение», в котором сечение представляется в виде произведения сечения Клейна – Нишины – Тамма и атомного формфактора. Во-вторых, не учитывалось межэлектронное взаимодействие в конечном состоянии атома, которое в области энергий $\omega_1 \sim \eta$ дает вклад того же порядка, что и взаимодействие в начальном состоянии.

Нерелятивистская теория возмущений использовалась нами в работе [17] для описания ионизацион-

ного возбуждения гелиеподобных мишеней при рассеянии быстрых электронов (с энергией, много большей энергии связи I). Поскольку в этом случае основной вклад в сечение ионизации дают малые потери энергии (порядка I), взаимодействие быстрой частицы с атомом можно описать оператором [17]

$$U(\mathbf{r}) = \frac{4\pi\alpha}{q^2} e^{i\mathbf{q}\cdot\mathbf{r}}, \quad (4)$$

где \mathbf{q} — импульс, переданный налетающим электроном. Интересно, что радиальная зависимость оператора электрон-фотонного взаимодействия $U_\gamma(\mathbf{r})$ в \mathbf{A}^2 -приближении имеет такой же вид; меняется только предэкспоненциальный множитель:

$$U_\gamma(\mathbf{r}) = N_\gamma e^{i\mathbf{q}\cdot\mathbf{r}}, \quad N_\gamma = 2\pi \frac{\alpha}{m} \frac{\mathbf{e}_2^* \cdot \mathbf{e}_1}{\sqrt{\omega_1 \omega_2}}. \quad (5)$$

Здесь $\mathbf{q} = \mathbf{k}_1 - \mathbf{k}_2$ — импульс, переданный атому налетающим фотоном, $\omega_1 = |\mathbf{k}_1|$ и \mathbf{e}_1 ($\omega_2 = |\mathbf{k}_2|$ и \mathbf{e}_2^*) — соответственно энергия и вектор поляризации налетающего (рассеянного) фотона. Используя аналогию между уравнениями (4) и (5), можно легко восстановить амплитуду изучаемого процесса из результатов работы [17].

2. АМПЛИТУДА ИОНИЗАЦИОННОГО ВОЗБУЖДЕНИЯ АТОМА ПРИ КОМПТОНОВСКОМ РАССЕЯНИИ

Обозначим через p и $E = p^2/2m$ асимптотический импульс и энергию ионизованного электрона, а через $\eta_n = \eta/n$ и $E_{ns} = -\eta_n^2/2m$ соответственно средний импульс и энергию возбужденного электрона ($n \geq 2$). Следуя [17], представим искомую амплитуду в виде суммы четырех матричных элементов, соответствующих вкладам от четырех диаграмм Фейнмана, первые две из которых приведены на рис. 2:

$$\mathcal{A} = \sqrt{2} (\mathcal{A}_a + \mathcal{A}_b + \mathcal{A}_c + \mathcal{A}_d). \quad (6)$$

Здесь

$$\mathcal{A}_a = \langle \psi_p \psi_{ns} | U_\gamma G(E_a) V | \psi_{1s} \psi_{1s} \rangle, \quad (7)$$

$$\mathcal{A}_b = \langle \psi_p \psi_{ns} | V G(E_b) U_\gamma | \psi_{1s} \psi_{1s} \rangle, \quad (8)$$

$$\mathcal{A}_c = \langle \psi_{ns} \psi_p | U_\gamma G(E_c) V | \psi_{1s} \psi_{1s} \rangle, \quad (9)$$

$$\mathcal{A}_d = \langle \psi_{ns} \psi_p | V G(E_d) U_\gamma | \psi_{1s} \psi_{1s} \rangle, \quad (10)$$

где $G(E) = (E - H)^{-1}$ — кулоновская функция Грина для электрона с энергией E . Межэлектронное взаимодействие описывается двухчастичным оператором V , тогда как U_γ и $G(E)$ — одночастичные

операторы. Энергии электронов в промежуточных состояниях, описываемых функциями Грина, определяются законом сохранения энергии:

$$\begin{aligned} E_a &= 2E_{1s} - E_{ns} = -I(2 - n^{-2}), \\ E_b &= E + E_{ns} - E_{1s} = I(\varepsilon + 1 - n^{-2}), \\ E_c &= 2E_{1s} - E = -I(\varepsilon + 2), \end{aligned}$$

где $\varepsilon = E/I = p^2/\eta^2$ — безразмерная энергия ионизованного электрона.

Следует отметить, что амплитуды \mathcal{A}_a и \mathcal{A}_c учитывают взаимодействие между атомными электронами в начальном состоянии, а амплитуды \mathcal{A}_b и \mathcal{A}_d — в конечном. Техника расчета амплитуд детально изложена в работе [17]. Здесь мы приведем только их конечные выражения. Прямые амплитуды представляются в виде производных от однократных интегралов:

$$\mathcal{A}_a = \mathcal{N} \hat{\Gamma}_{\mu\lambda} \int_0^1 \frac{dx}{\Lambda} e(x) \Phi(\Lambda, \lambda) \Big|_{\substack{\lambda \rightarrow 0 \\ \mu = \eta + \eta_n}}, \quad (11)$$

$$\mathcal{A}_b = \mathcal{N} \hat{\Gamma}_{\mu\lambda} \int_0^1 \frac{dx}{\Lambda_1} e_1(x) \Phi_1(\Lambda_1, \mu) \Big|_{\substack{\lambda = \eta \\ \mu = \eta + \eta_n}}. \quad (12)$$

Дифференциальный оператор $\hat{\Gamma}_{\mu\lambda}$ действует на параметры μ и λ , от которых зависят подынтегральные функции:

$$\begin{aligned} \hat{\Gamma}_{\mu\lambda} &= D_\mu \frac{\partial^2}{\partial \mu \partial \lambda} \frac{1}{\mu^2}, \\ D_\mu &= \sum_{l=0}^{n-1} \frac{(n-1)!(2\eta_n)^l}{(n-l-1)!l!(l+1)!} \frac{\partial^l}{\partial \mu^l}, \\ \Lambda &= \sqrt{p_a^2(1-x) + (\mu + \eta)^2 x}, \\ \Lambda_1 &= \sqrt{(q^2 x - p_b^2)(1-x) + \lambda^2 x - i0}, \\ e(x) &= x^{-\zeta} \left(\frac{\Lambda + p_a}{\mu + \eta + p_a} \right)^{2\zeta}, \\ e_1(x) &= x^{-i\beta} \left(\frac{(qx)^2 + (\Lambda_1 - ip_b)^2}{q^2 + (\lambda - ip_b)^2} \right)^{i\beta}, \\ \Phi(\Lambda, \lambda) &= \frac{[(\mathbf{q} - \mathbf{p})^2 + (\Lambda + \lambda)^2]^{i\xi-1}}{[q^2 + (\Lambda + \lambda - ip)^2]^{i\xi}}, \\ \Phi_1(\Lambda_1, \mu) &= \frac{[(\mathbf{q}x - \mathbf{p})^2 + (\Lambda_1 + \mu)^2]^{i\xi-1}}{[(qx)^2 + (\Lambda_1 + \mu - ip)^2]^{i\xi}}, \\ p_a &= \sqrt{2m|E_a|} = \frac{\eta}{\zeta}, \quad p_b = \sqrt{2mE_b} = \frac{\eta}{\beta}, \\ \zeta &= \frac{1}{\sqrt{2-n^{-2}}}, \quad \beta = \frac{1}{\sqrt{\varepsilon+1-n^{-2}}}, \quad \xi = \frac{\eta}{p} = \frac{1}{\sqrt{\varepsilon}}. \end{aligned}$$

В уравнениях (11) и (12) после взятия производных следует устремить λ соответственно к 0 и η , а μ положить равной $\eta + \eta_n$.

Обменные амплитуды оказываются более сложными и выражаются через производные от двукратных интегралов:

$$\mathcal{A}_c = \frac{\mathcal{N}}{2} \hat{\Gamma}_{\mu\lambda\tau} \int_0^1 \frac{dx}{\Lambda_2} e_2(x) \int_0^1 \frac{dy}{L_2} W(L_2) \Big|_{\substack{\mu = \eta_n \\ \lambda = \tau = \eta}}, \quad (13)$$

$$\mathcal{A}_d = \frac{\mathcal{N}}{2} \hat{\Gamma}_{\mu\lambda\tau} \int_0^1 \frac{dx}{\Lambda_1} e_1(x) \int_0^1 \frac{dy}{L_1} W(L_1) \Big|_{\substack{\mu = \eta_n \\ \lambda = \tau = \eta}}. \quad (14)$$

Здесь

$$\begin{aligned} \hat{\Gamma}_{\mu\lambda\tau} &= D_\mu \frac{\partial^3}{\partial \mu \partial \lambda \partial \tau}, \\ \Lambda_2 &= \sqrt{(p_c^2 + q^2 x)(1-x) + \mu^2 x}, \\ e_2(x) &= x^{-\gamma} \left(\frac{(qx)^2 + (\Lambda_2 + p_c)^2}{q^2 + (\mu + p_c)^2} \right)^\gamma, \\ W(L) &= \frac{[(\mathbf{q}xy - \mathbf{p})^2 + (L + \tau)^2]^{i\xi-1}}{[(qxy)^2 + (L + \tau - ip)^2]^{i\xi}}, \\ L_1 &= \sqrt{(qx)^2 y(1-y) + (\Lambda_1 + \mu)^2 y}, \\ L_2 &= \sqrt{(qx)^2 y(1-y) + (\Lambda_2 + \lambda)^2 y}, \\ p_c &= \sqrt{2m|E_c|} = \frac{\eta}{\gamma}, \quad \gamma = \frac{1}{\sqrt{\varepsilon+2}}. \end{aligned}$$

В формулах (13) и (14) производные вычисляются в точках $\mu = \eta_n$, $\lambda = \eta$ и $\tau = \eta$. Амплитуды (11)–(14) содержат общий множитель

$$\mathcal{N} = (4\pi)^3 \alpha^2 N_p N_n N_1^2 \frac{\mathbf{e}_2^* \cdot \mathbf{e}_1}{\sqrt{4\omega_1 \omega_2}}, \quad (15)$$

$$N_p^2 = \frac{2\pi\xi}{1 - e^{-2\pi\xi}}, \quad N_n^2 = \frac{\eta_n^3}{\pi}. \quad (16)$$

3. ДИФФЕРЕНЦИАЛЬНЫЕ И ПОЛНОЕ СЕЧЕНИЯ

Дифференциальное сечение процесса, усредненное по поляризациям налетающих фотонов и просуммированное по поляризациям рассеянных фотонов, связано с амплитудой (6) соотношением

$$d\sigma_{ns}^{+*} = 2\pi \overline{|\mathcal{A}|^2} \delta(\omega_2 + E + E_0 - \omega_1) \frac{d\mathbf{k}_2}{(2\pi)^3} \frac{d\mathbf{p}}{(2\pi)^3}, \quad (17)$$

где

$$\overline{|\mathcal{A}|^2} = \frac{1}{2} \sum_{pol.} |\mathcal{A}|^2, \quad (18)$$

$E_0 = E_{ns} - 2E_{1s} = I(2 - n^{-2})$ — пороговая энергия процесса. Учитывая, что амплитуда \mathcal{A} зависит

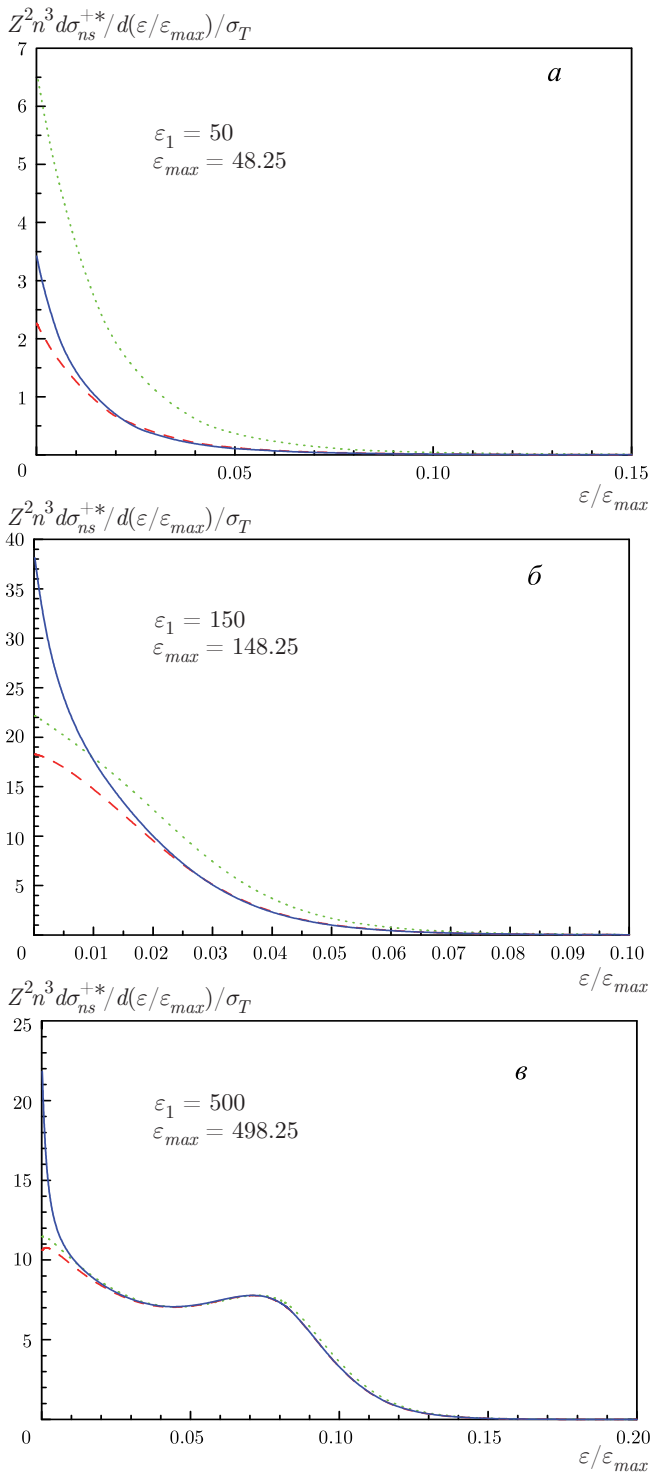


Рис. 3. Энергетические распределения вылетевших электронов для $n = 2$ и $Z = 2$ при различных значениях ϵ_1 , ϵ_{max} : вклад диаграммы рис. 2а (пунктирные кривые), суммарный вклад диаграмм рис. 2а и 2б (штриховые), полный вклад всех диаграмм (сплошные)

от углов через q , $\mathbf{p} \cdot \mathbf{q}$ и $\mathbf{e}_2^* \cdot \mathbf{e}_1$, представим фазовые объемы в виде

$$d\mathbf{k}_2 = 2\pi\omega_2^2 d\omega_2 dt_{12}, \quad d\mathbf{p} = 2\pi mp dE dt. \quad (19)$$

Здесь $t_{12} = \cos\theta_{12}$, $t = \cos\theta$, где θ_{12} — угол между \mathbf{k}_1 и \mathbf{k}_2 , θ — угол между \mathbf{p} и $\mathbf{q} = \mathbf{k}_1 - \mathbf{k}_2$. Убирая δ -функцию в (17) интегрированием по переменной ω_2 и заменяя dt_{12} на $qdq/\omega_1\omega_2$, получаем

$$d\sigma_{ns}^{+*} = \frac{mp}{(2\pi)^3} \overline{|A|^2} \frac{\omega_2}{\omega_1} dE q dq dt, \quad (20)$$

где $\omega_2 = \omega_1 - E - E_0$.

Далее удобно выразить амплитуду (6) через безразмерную величину M :

$$A = \sqrt{2} \sum_k A_k = \sqrt{2} \eta^{-7} \mathcal{N} M, \quad (21)$$

где множитель \mathcal{N} определяется формулой (15). Импульсы и энергии, входящие в M , выражены соответственно в единицах $\eta = m\alpha Z$ и $I = m(\alpha Z)^2/2$, а закон сохранения энергии в этих единицах принимает вид $\epsilon_1 - \epsilon_2 = \epsilon + \epsilon_0$, где $\epsilon_{1,2} = \omega_{1,2}/I$, $\epsilon_0 = 2 - n^{-2}$. В результате при заданной энергии ω_1 налетающего фотона величина M зависит от трех безразмерных переменных: $\epsilon = E/I = \xi^{-2}$, $\varkappa = q/\eta$ и t .

Выполнив суммирование по поляризациям фотонов, получим

$$\frac{1}{2} \sum_{pol.} |\mathbf{e}_2^* \cdot \mathbf{e}_1|^2 = \frac{1}{2} (1 + t_{12}^2),$$

$$t_{12} = \frac{1}{2} \left(\frac{\omega_2}{\omega_1} + \frac{\omega_1}{\omega_2} - \frac{q^2}{\omega_1\omega_2} \right) = \frac{1}{2} \left(\frac{\nu_2}{\nu_1} + \frac{\nu_1}{\nu_2} - \frac{\varkappa^2}{\nu_1\nu_2} \right),$$

где $\nu_{1,2} = \omega_{1,2}/\eta = \alpha Z \epsilon_{1,2}/2$. Функция t_{12} зависит от переменных ϵ и \varkappa . Тогда формула (18) имеет вид

$$\overline{|A|^2} = \left(\frac{2\pi\alpha}{\eta} \right)^4 \frac{2^7 (1 + t_{12}^2) |\mathcal{M}(\epsilon, \varkappa, t)|^2}{n^3 \omega_1 \omega_2 p (1 - e^{-2\pi\xi})}. \quad (22)$$

Подставляя (22) в (20) и переходя к безразмерным величинам, получим трижды дифференциальное сечение:

$$\frac{d^3 \sigma_{ns}^{+*}}{d\epsilon d\varkappa dt} = \frac{48\sigma_T}{Z^2 n^3 \nu_1^2} \frac{\varkappa (1 + t_{12}^2)}{1 - e^{-2\pi\xi}} |\mathcal{M}(\epsilon, \varkappa, t)|^2. \quad (23)$$

Ионизованный электрон может иметь энергию ϵ в пределах от 0 до $\epsilon_{max} = \epsilon_1 - \epsilon_0$, а переданный импульс \varkappa ограничен значениями $\varkappa_{min} = \nu_1 - \nu_2$ и $\varkappa_{max} = \nu_1 + \nu_2$.

Выполнив интегрирование в (23) по переменным t и \varkappa , находим энергетические распределения ионизованных электронов $d\sigma_{ns}^{+*}/d\epsilon$. Эти распределения

показаны на рис. 3 для $n = 2$, $Z = 2$ и трех значений энергии $\varepsilon_1 = 50$ (а), 150 (б), 500 (в), которые соответствуют значениям $\nu_1 = 0.365, 1.095, 3.649$. Видно, что при $\omega_1 \lesssim \eta$ дифференциальные сечения определяются всеми четырьмя диаграммами Фейнмана, тогда как при $\omega_1 \gtrsim 4\eta$ вклад диаграммы рис. 2а является определяющим за исключением очень малой части спектра вблизи $\varepsilon = 0$. Все кривые оказываются локализованными в достаточно узкой области относительно разрешенного законом сохранения энергии полного интервала $0 \leq \varepsilon \leq \varepsilon_{max}$. Из рис. 3 можно также получить информацию об энергетическом распределении рассеянных фотонов $d\sigma_{2s}^{+*}/d\varepsilon_2$, графики которого симметричны графикам $d\sigma_{2s}^{+*}/d\varepsilon$ относительно вертикальной прямой, проходящей через точку $\varepsilon = \varepsilon_{max}/2$.

Проинтегрировав (23) по областям изменения всех трех переменных, представим полное сечение в виде

$$\sigma_{ns}^{+*} = \frac{48\sigma_T}{Z^2 n^3 \nu_1^2} \int_0^{\varepsilon_{max}} \frac{d\varepsilon}{1 - e^{-2\pi\xi}} \int_{\varkappa_{min}}^{\varkappa_{max}} \varkappa(1 + t_{12}^2) d\varkappa \times \int_{-1}^{+1} |\mathcal{M}(\varepsilon, \varkappa, t)|^2 dt. \quad (24)$$

Поскольку перестройка относительных вкладов фейнмановских диаграмм происходит при характерных значениях $\omega_1 \sim \eta$, воспользуемся безразмерной энергетической шкалой, калиброванной импульсом η . В таких единицах энергии фотонов в диапазоне $I \ll \omega_1 \ll m$ соответствуют области $\alpha Z/2 \ll \nu_1 \ll (\alpha Z)^{-1}$. Зависимости сечения (24) от энергии налетающего фотона построены на рис. 4 для $Z = 2$ и 10. Умноженное на Z^2 сечение слабо зависит от Z . Как и на рис. 3, здесь видно, что при $\nu_1 \lesssim 1$ следует учитывать все графики Фейнмана, тогда как в области $\nu_1 \gtrsim 4$ достаточно учитывать только график рис. 2а. Поведение σ_{2s}^{+*} качественно повторяет предсказания формулы Шнайда (1): сечение подавлено при $\nu_1 \ll 1$, быстро растет в переходной области $\nu_1 \sim 1$ и убывает при высоких энергиях $\nu_1 \gg 1$.

На рис. 5 дано сравнение полученных нами полных сечений σ_{2s}^{+*} для атома гелия с аналогичными сечениями, вычисленными в работах [15, 16] для перехода на всю L -оболочку в интервале энергий $6 \text{ кэВ} \leq \omega_1 \leq 60 \text{ кэВ}$. Поскольку в области асимптотически высоких энергий ($\omega_1 \gg \eta$) сечение ионизации с переходом в $2p$ -состояние на порядок меньше сечения ионизации с переходом в $2s$ -состояние

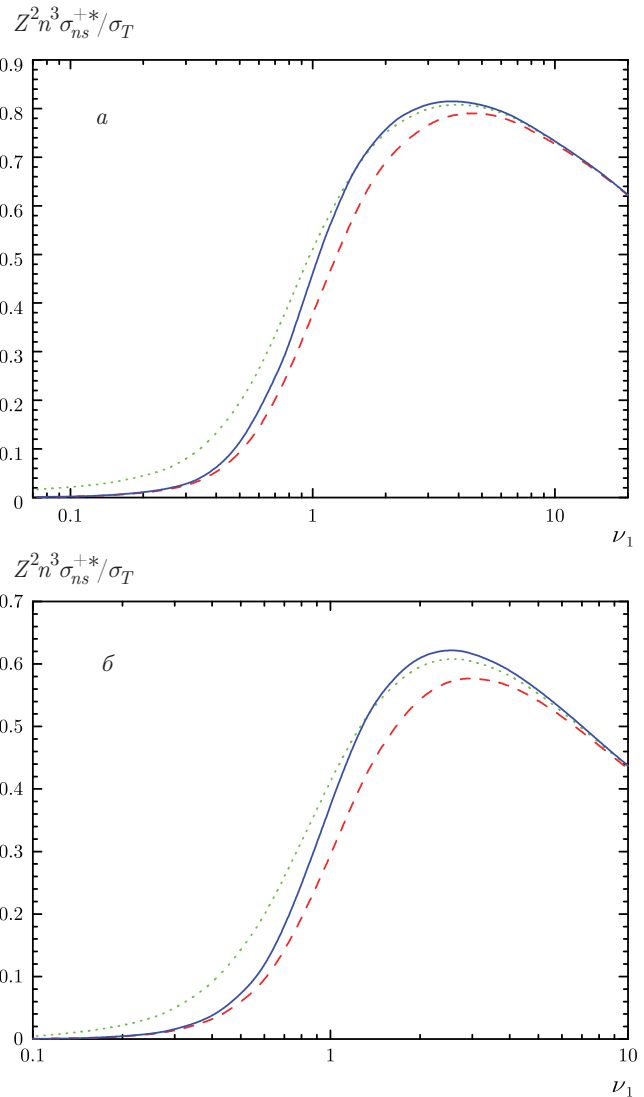


Рис. 4. Полные сечения (24) для $n = 2$ и $Z = 2$ (а), 10 (б): вклад диаграммы рис. 2а (пунктирные кривые), суммарный вклад диаграмм рис. 2а и рис. 2б (штриховые), вклад всех диаграмм (сплошные)

(см. [12–14]), сечения из работ [15, 16] следует уменьшить примерно на 10% при сравнении с нашими σ_{2s}^{+*} . Характерно то, что расчеты работы [15] практически не зависят от энергии фотона ω_1 , а работа [16] предсказывает даже рост сечения при высоких энергиях.

Экспериментальный интерес представляет отношение сечений ионизации с возбуждением и простой ионизации в комптоновском рассеянии, $R_{nl} = \sigma_{nl}^{+*}/\sigma^+$, на гелиеподобных ионах в широком диапазоне энергий фотона. В рамках нашего рассмотрения $\sigma^+ = 2\sigma_{1s}^+$, где σ_{1s}^+ описывается формулой Шнайда (1). На рис. 6 показано поведение величини

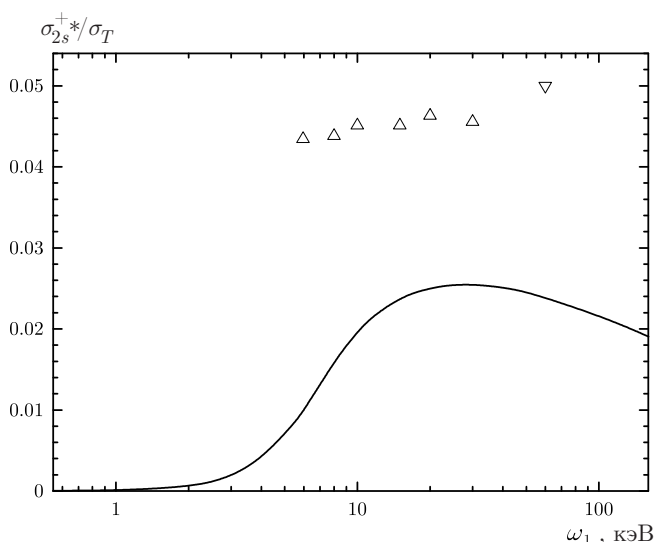


Рис. 5. Сравнение результатов нашего расчета (сплошная кривая) и других расчетов для гелия: Δ [15], ∇ [16]

ны $Z^2 R_{2s}$ в области $\alpha Z/2 \ll \nu_1 \ll (\alpha Z)^{-1}$ для $Z = 2$ и 10. В области малых $\nu_1 \ll 1$ отношение сечений мало и проявляет сильную зависимость от Z . В переходной области $\nu_1 \sim 1$ величина $Z^2 R_{2s}$ слабо зависит от Z и быстро возрастает, достигая уже практически при $\nu_1 \gtrsim 2$ максимального значения. Ранее этот универсальный для всех Z предел был получен при асимптотически высоких энергиях $\nu_1 \gg 1$ [13, 14]. Хотя сечения как простой ионизации, так и ионизации с возбуждением вычислялись с использованием грубого борновского приближения для ионизованного электрона [13, 14], соответствующее отношение сечений (3) имеет область применимости гораздо более широкую, чем можно было изначально предположить. Это происходит за счет интерференции вкладов от межэлектронного взаимодействия в конечном состоянии атома и обменного взаимодействия, а также быстрого уменьшения этих вкладов с ростом энергии фотона.

4. ЗАКЛЮЧЕНИЕ

В настоящей работе рассмотрен процесс комптоновского рассеяния на гелиеподобных ионах с одновременным возбуждением ns -состояния остаточного иона. Расчет дифференциальных и полных сечений выполнен для фотонов с энергией $I \ll \omega_1 \ll m$. В этой области энергий достаточно использовать A^2 -приближение для электрон-фотонного взаимо-

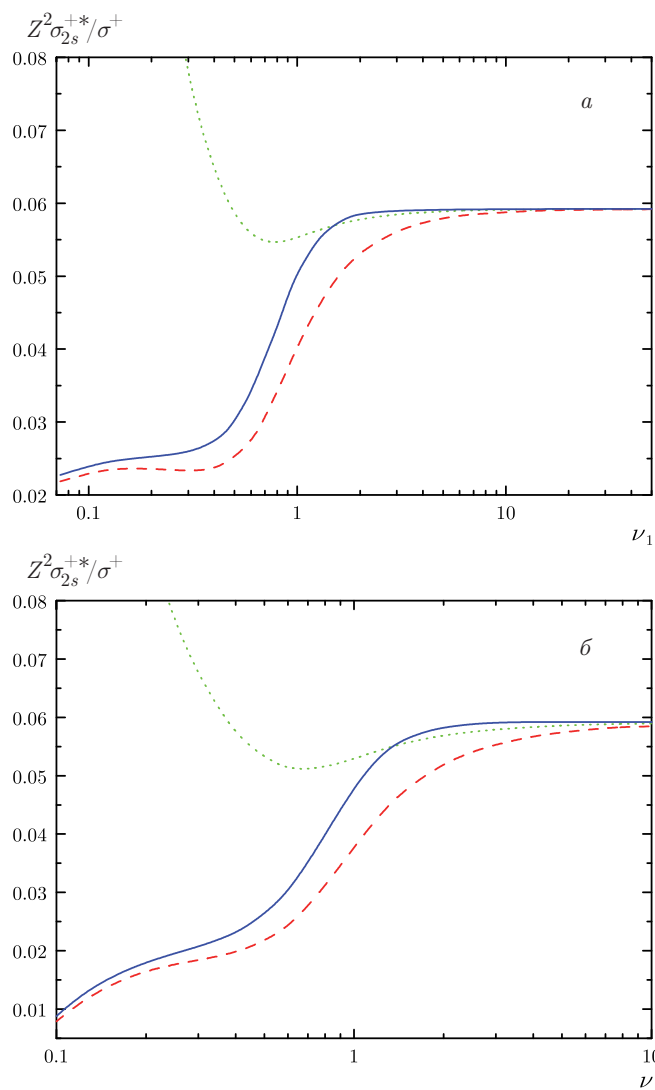


Рис. 6. Отношения сечений $Z^2 R_{2s}$ для $Z = 2$ (а), 10 (б): вклад диаграммы рис. 2а (пунктирные кривые), вклад диаграмм рис. 2а и рис. 2б (штриховые), вклад всех диаграмм (сплошные)

действия и нерелятивистское приближение для волновых функций. Межэлектронное взаимодействие учтено в рамках теории возмущений по малому параметру $1/Z$. Численные расчеты показали, что в области энергий $\omega_1 \lesssim \eta$ необходим учет электрон-электронного взаимодействия как в начальном, так и в конечном состояниях атома (диаграммы рис. 2а, рис. 2б и обменные диаграммы). В области энергий $\omega_1 \gtrsim \eta$ доминирует вклад диаграммы рис. 2а, описывающей межэлектронное взаимодействие в начальном состоянии. В этой же области энергий величина $Z^2 \sigma_{2s}^{+*}/\sigma^+$ является универсальной функцией от $\nu_1 = \omega_1/\eta$ для всех Z , таких что $\alpha Z \ll 1$.

ЛИТЕРАТУРА

1. F. Schnaidt, *Ann. Physik* **413**, 89 (1934).
2. M. Gavrila, *Phys. Rev. A* **6**, 1348 (1972).
3. И. Г. Каплан, Г. Л. Юдин, *ЖЭТФ* **69**, 9 (1975).
4. M. Ya. Amusia and A. I. Mikhailov, *J. Phys. B* **28**, 1723 (1995).
5. E. G. Drukarev, A. I. Mikhailov, and I. A. Mikhailov, *Phys. Rev. A* **82**, 023404 (2010).
6. V. B. Berestetskii, E. M. Lifshitz, and L. P. Pitaevskii, *Quantum Electrodynamics*, Pergamon, Oxford (1982), с. 356.
7. В. Г. Горшков, А. И. Михайлов, С. Г. Шерман, *ЖЭТФ* **64**, 1128 (1973).
8. В. Г. Горшков, А. И. Михайлов, С. Г. Шерман, *ЖЭТФ* **77**, 31 (1979).
9. P. M. Bergstrom, Jr., T. Surić, K. Pisk, and R. H. Pratt, *Phys. Rev. A* **48**, 1134 (1993).
10. V. Florescu and R. H. Pratt, *Phys. Rev. A* **80**, 033421 (2009).
11. В. Г. Горшков, А. И. Михайлов, С. Г. Шерман, Препринт ЛИЯФ им. Б. П. Константинова АН СССР № 119 (1974).
12. T. Surić, K. Pisk, B. A. Logan, and R. H. Pratt, *Phys. Rev. Lett.* **73**, 790 (1994).
13. М. Я. Амусья, А. И. Михайлов, *ЖЭТФ* **111**, 862 (1997).
14. А. В. Нефёдов, *Письма в ЖЭТФ* **98**, 3 (2013).
15. J. H. McGuire, S. Itza-Ortiz, A. L. Godunov et al., *Phys. Rev. A* **62**, 012702 (2000).
16. S. F. Itza-Ortiz, A. L. Godunov, J. Wang, and J. H. McGuire, *J. Phys. B* **34**, 3477 (2001).
17. А. И. Михайлов, А. В. Нефёдов, *ЯФ* **80**, 293 (2017).